

ОБЪЕДИНЕННЫЙ
ИНСТИТУТ
ЯДЕРНЫХ
ИССЛЕДОВАНИЙ
ДУБНА



A-50

31. - 27. 2

P6 - 10043

5244/2-76

Б.А.Аликов, Я.Ваврышук, К.Я.Громов, Р.Ион-Михай,
Н.З.Марупов, Т.М.Муминов, И.Холбаев

ВРЕМЕНА ЖИЗНИ

НИЗКОВОЗБУЖДЕННЫХ СОСТОЯНИЙ ^{153}Tb

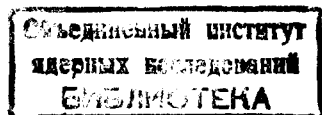
1976

P6 - 10043

Б.А.Аликов,* Я.Ваврыщук, К.Я.Громов, Р.Ион-Михай,
Н.З.Марупов,* Т.М.Муминов,* И.Холбаев*

ВРЕМЕНА ЖИЗНИ
НИЗКОВОЗБУЖДЕННЫХ СОСТОЯНИЙ ^{153}Tb

Направлено в "Известия АН СССР"



* Самаркандский государственный университет

1. ВВЕДЕНИЕ

Ядро ^{153}Tb исследовалось при радиоактивном распаде ^{153}Dy рядом авторов¹⁻⁴. В нашей предыдущей работе⁵ изучались угловые $\gamma-\gamma$ корреляции и спектры электронов внутренней конверсии (ЭВК), в результате чего были определены значения спинов низковозбужденных состояний и уточнены мультипольности ряда переходов в ^{153}Tb .

В настоящей работе измерялись времена жизни низковозбужденных состояний ^{153}Tb методами $e-e$ и $e-\gamma$ задержанных совпадений. Сложный спектр излучений, сопровождающих распад ^{153}Dy , затруднял проведение этих исследований и требовал многократных повторных измерений с выбором различных экспериментальных условий. Результаты этих исследований позволили определить или оценить верхние границы периодов полураспада уровней 80,7; 147,5; 213,7; 218,6; 240,4; 254,2; 262,8; 324,9; 389,4; 444,6; 529,3; 537,3 кэВ. Предварительные результаты были опубликованы в работах^{6,7}. При анализе результатов мы исходили из схемы уровней ^{153}Tb , предложенной Зубером и др.⁴, и данных нашей предыдущей работы⁵. Фрагмент схемы уровней ^{153}Tb приведен на рис. 1.

2. РАДИОАКТИВНЫЕ ИСТОЧНИКИ

В исследованиях использовались радиоактивные источники ^{153}Dy ($T_{1/2} = 6,3$ ч), которые получались в реакции глубокого расщепления тантала протонами с энергией 660 МэВ на синхроциклотроне ОИЯИ с последовательным радиохимическим выделением из облу-

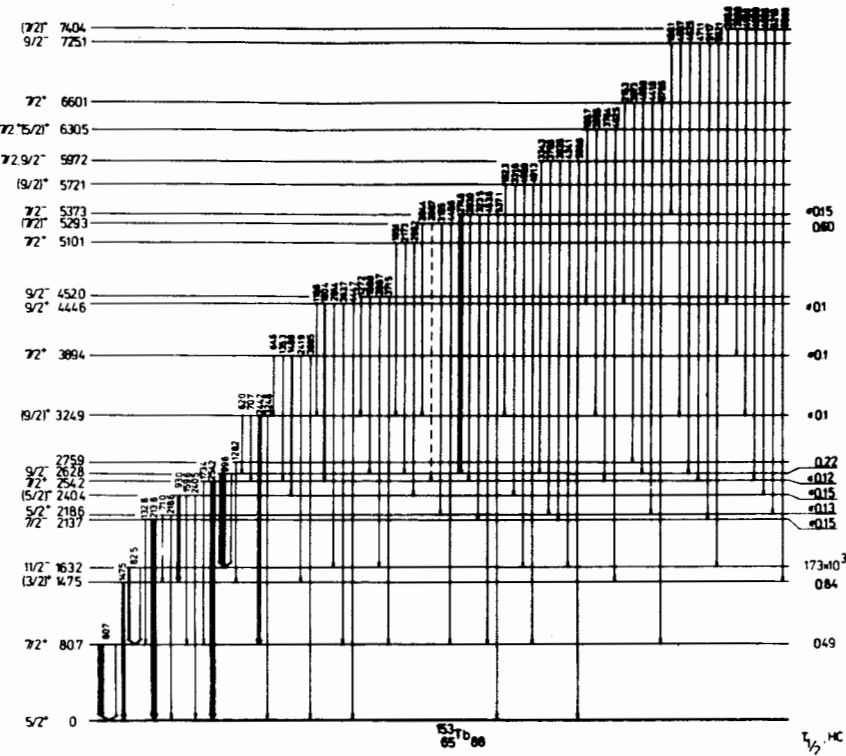


Рис. 1. Фрагмент схемы уровней ^{153}Tb .

ченной мишени изотопов Dy и их разделением по массам на электромагнитном масс-сепараторе. Ионы ^{153}Dy собирались на коллекторе масс-сепаратора на Al подложку толщиной 2 мкм в виде радиоактивного пятна размером 1,5 x 15 мм.

3. ПОСТАНОВКА И РЕЗУЛЬТАТЫ ИЗМЕРЕНИЙ

Измерения проводились в режимах $e-e$ (с использованием двух магнитно-линзовых β -спектрометров /8/) и $e-\gamma$ (с использованием магнитно-линзового β -спектрометра и сцинтилляционного γ -спектрометра с пласти-

ческим сцинтиллятором типа NE 111) задержанных совпадений. Типичный спектр электронов внутренней конверсии ^{153}Dy , измеренный на магнитном спектрометре, приведен на рис. 2 (на спектре указаны только наиболее интенсивные линии ЭВК).

Кривые задержанных совпадений (КЗС) обрабатывались на ЭВМ CDC 6400 по программам LIFTIM и GEXFIT /9/, а также по программе GASEXP.

При оценке погрешностей в определении периодов полураспада $T_{1/2}$ помимо статистической ошибки учитывалась неопределенность во временной калибровке цепи канала анализатора импульсов. Некоторые КЗС, полученные в проведенных измерениях, приведены на рис. 3.

Время жизни уровня 80 кэВ определено как $T_{1/2} = 0,49 \pm 0,02$ нс в совпадениях K82-K80; $(L82+L80)-(L80+L82)$ и K244-L80. На рис. 3А и В приведены КЗС, характеризующие это время. В этих измерениях ЭВК L80 не отделялись от ЭВК L82, а ЭВК K240 – от ЭВК K242 и K244. В первом случае одновременно измерялись совпадения L82-L80 и L80-L82, поэтому время жизни уровня 80 кэВ проявилось на обоих склонах КЗС. Во втором случае, как это видно из рассмотрения схемы уровней ^{153}Tb , КЗС обусловлена только каскадными совпадениями K244-L80 .

Анализ временных распределений совпадений (K93+KLM)-(K147+K149+M99); (K147+K149+M99)-(K240+K242+K244); K274-L99 и K274- γ (рис. 3, С, Г, І и К) позволяет приписать уровням 147, 240, 262 и 537 кэВ значения $T_{1/2} = 0,84 \pm 0,03$ нс $T_{1/2} \leq 0,15$ нс; $T_{1/2} = 0,22 \pm 0,02$ нс; $T_{1/2} \leq 0,15$ нс, соответственно. КЗС (K274-L99) характеризует время жизни уровня 262 кэВ ($T_{1/2} = 0,22 \pm 0,02$ нс). КЗС(274- γ) определяет времена жизни как уровня 262 кэВ (правый склон, $T_{1/2} = 0,23 \pm 0,02$ нс), так и уровня 537 кэВ (левый склон, $T_{1/2} \leq 0,15$ нс). Временное распределение совпадений между электронами (K147+K149+M99) и (K240+K242+K244) обусловлено совпадениями каскадов (147 – 242) кэВ (на левом склоне КЗС прослеживается время жизни уровня 147 кэВ, $T_{1/2} = 0,84$ нс) и (149-240) кэВ (правый склон определяет время жизни

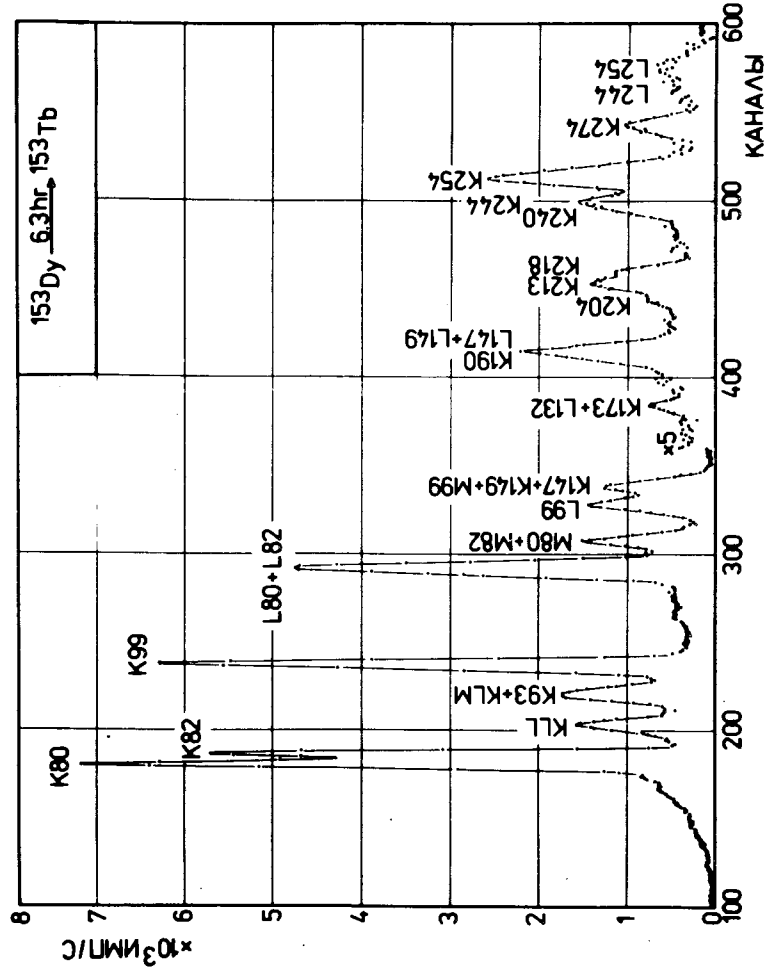


Рис. 2. Участок спектра электронов внутренней конверсии ^{153}Dy .

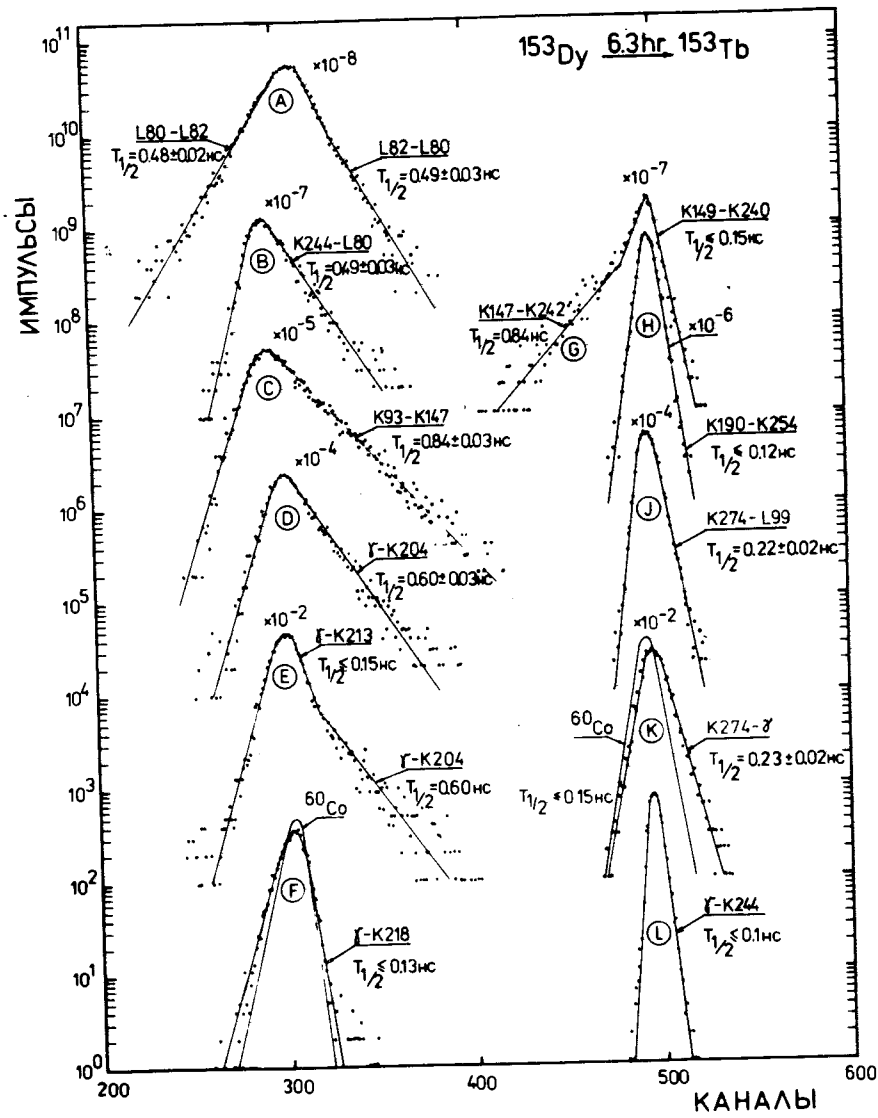


Рис. 3. Временные распределения измерений задержанных совпадений в ядре ^{153}Tb . Цена канала КЗС А, В, С - 57 пс/кан, Д, Е, Ф - 57,5 пс/кан, К, Л - 58 пс/кан, Н - 65 пс/кан, Г, І, Ј - 65,5 пс/кан.

уровня 240 кэВ как $T_{1/2} \leq 0,15$ нс). Во временное распределение совпадений между электронами (K93+KLM) и (K147+K149+M99) основной вклад (~70%) вносят совпадения электронов (K93+KLM $_{\epsilon}$)-K147, определяющие время жизни уровня 147 кэВ как $T_{1/2} = 0,84 \pm 0,03$ нс. Очевидно, что конкурирующие задержанные совпадения (K93+KLM $_{\epsilon}$)-K149 и (KLM $_{\epsilon}$ -M99) и мгновенные совпадения между ЭВК K147+K149 и электронами Оже, сопутствующими испусканию ЭВК на К-оболочке, не могут обусловить наклон правого склона рассматриваемой КЗС с $T_{1/2} = 0,84$ нс.

В наших измерениях ЭВК K204, K213 и K218 кэВ плохо разрешаются. Тем не менее анализ нескольких серий измерений совпадений γ -лучей ($E_{\gamma} \geq 150$ кэВ) с этими ЭВК (рис. 3 D, E, F) позволил приписать уровням 213, 218, 529 кэВ значения $T_{1/2} \leq 0,15$ нс, $T_{1/2} \leq 0,13$ нс и $T_{1/2} = 0,60 \pm 0,03$ нс, соответственно. Эти измерения были проведены сразу же после окончания сепарации (~1 ч после завершения химического выделения), когда дочерний изотоп ^{153}Tb еще не успел накопиться в источнике в заметном количестве. Тем не менее были проведены контрольные измерения совпадений (K208+K212)- γ с источником ^{153}Tb . Оба склона этой КЗС имели наклон $T_{1/2} \leq 0,15$ нс.

Временное распределение совпадений между ЭВК (K190+L147+L149) и K254 (рис. 1 H), обусловленное только электронами K190-K254, позволяет определить для уровня 254 кэВ верхний предел времени жизни $T_{1/2} \leq 0,12$ нс. Верхний предел времени жизни уровня 324 кэВ $T_{1/2} \leq 0,1$ нс был определен в совпадениях γ -K244 (рис. 3 L).

На основе полученных значений периодов полураспада исследуемых уровней рассчитаны экспериментальные значения вероятностей γ -переходов $B(\sigma L)$, разряжающих эти уровни, и их одночастичные факторы запрета по Мошковскому $F_{sp}(\sigma L)$. Эти данные приведены в табл. 1.

* KLM $_{\epsilon}$ -электроны, сопутствующие ϵ -захвату ^{153}Dy на рассматриваемое состояние.

4. ОБСУЖДЕНИЕ РЕЗУЛЬТАТОВ ИССЛЕДОВАНИЙ

Ядро ^{153}Tb 88 принадлежит к так называемой "переходной" области ядер, свойства которых обусловлены конкуренцией между силами спаривания и поляризующими силами, стремящимися, с одной стороны, придать ядру сферическую форму, а с другой, - деформировать его. Статическая деформация основного состояния и низко-лежащих состояний этих ядер, по-видимому, мала, однако с возрастанием энергии возбуждения она может стать заметной. При этом структура коллективных состояний может представлять собой сложную смесь вращательных и колебательных движений. Эти предположения подтверждаются экспериментальными фактами. Например, в изотоне ^{153}Tb - ядре ^{151}Eu нижайшие возбужденные состояния совпадают с состояниями протонной оболочки 50-82: d5/2, g7/2 и h11/2 в сферически симметричном потенциале. Одновременно в этом же ядре наблюдаются деформированные состояния 261 кэВ 5/2 $^{+}$ /413/ и 654 кэВ 5/2 $^{+}$ /413/ и основанные на них ротационная и β -вибрационная полосы /10/.

Аналогичная ситуация сосуществования состояний с различной симметрией, возможно, имеет место и в ядре ^{153}Tb 88. Нижайшие возбужденные состояния 0 кэВ (5/2 $^{+}$), 80 кэВ (7/2 $^{+}$), 163 кэВ (11/2 $^{-}$) можно сопоставить с одночастичными протонными состояниями d5/2, g7/2 и h11/2, соответственно. Из сопоставления же уровней ротационной полосы 3/2 $^{+}$ /411/ в ядрах ^{155}Tb и ^{157}Tb с уровнями ^{153}Tb можно предположить /4/, что состояния 147 кэВ (3/2 $^{+}$), 240 кэВ (5/2 $^{+}$), 389 кэВ (7/2 $^{+}$) и 572 кэВ (9/2 $^{+}$) являются членами ротационной полосы 3/2 $^{+}$ /411/. Однако отсутствие данных о свойствах уровней ^{153}Tb , полученных в ядерных реакциях, затрудняет доказательство этого предположения.

Проведенный анализ результатов наших исследований позволяет привести дополнительные аргументы в пользу гипотезы о сосуществовании в ядре ^{153}Tb состояний различной формы.

Рассмотрим одночастичные факторы торможения (по Мошковскому) для M1- и E2-компонент переходов,

Таблица I

Времена жизни уровней, экспериментальные вероятности и факторы запрета по Монковскому в ядре ^{153}Tb

E_{γ} (кэВ)	E_{γ}	I_i^{π}	I_f^{π} (E_f , кэВ)	δL	$B(\delta L)$ ^{**} эксп.	$F_{sp}(\delta L)$ ^{***}
$T_{1/2}$ (нс)	(кэВ)					
I	2	3	4	5	6	7
80,7	80,7	$7/2^+$	$5/2^+$	MI +	0,0297	55,7
$0,49 \pm 0,02$			(0)	I,7% E2	0,II	0,045
147,5	147,5	$(3/2^+)$	$5/2^+$	MI +	$0,699 \cdot 10^{-2}$	237
$0,84 \pm 0,03$			(0)	+I7,8% E2	0,0992	0,05
163,2	82,5	$II/2^-$	$7/2^+$	M2	0,0169	I04
$173 \cdot 10^3$			(80,7)			
213,7	132,8	$7/2^-$	$7/2^+$	EI	$>0,295 \cdot 10^{-6}$	$<0,205 \cdot 10^{-5}$
$0,15$			(80,7)			
213,7			$5/2^+$	EI	$>0,204 \cdot 10^{-5}$	$<0,3 \cdot 10^{-4}$
			(0)			
218,6	71,0	$5/2^+$	$(3/2^+)$	MI +	$>0,0145$	$< II4$
$< 0,13$			(147,5)	+9,1% E2	$>0,462$	$< 0,0106$
218,6			$5/2^+$	MI +	$>0,0109$	$< I53$
			(0)	+37% E2	$>0,194$	$< 0,025$
240,4	93,0	$(5/2^+)$	$(3/2^+)$	MI +	$>0,0754$	$< 22,0$
$< 0,15$			(147,5)	+3,1% E2	$>0,397$	$< 0,0124$
159,6			$7/2^+$	MI +	$>0,987 \cdot 10^{-3}$	< 1680
			(80,7)	+9,1% E2	$>0,551 \cdot 10^{-2}$	$< 0,891$
240,4			$5/2^+$	MI +	$>0,729 \cdot 10^{-3}$	< 2270
			(0)	+41% E2	$>0,0124$	$< 0,397$

Продолжение таблицы I.

1	2	3	4	5	6	7
254,2	173,5	$7/2^+$	$7/2^+$	MI + $>0,140 \cdot 10^{-2}$	$< II80$	
$< 0,12$				(80,7) +5,9% E2 $>0,418 \cdot 10^{-2}$	$< I,17$	
	254,2		$5/2^+$	MI + $>0,0119$	$< I40$	
			(0) +10,6% E2 $>0,0311$		$< 0,158$	
262,8	99,7	$9/2^-$	$II/2^-$	MI + 0,0552	30,0	
$0,22 \pm 0,02$			(I63) +0,9% E2 0,0712		0,069	
324,9	62,0	$(9/2^+)$	$9/2^-$	EI $>0,19 \cdot 10^{-5}$	< 3200	
$< 0,1$	70,7		$7/2^+$	MI + $>0,0128$	$< I30$	
			(254,2) +1% E2 $>0,0363$		$< 0,135$	
244,2			$7/2^+$	MI + $>0,0135$	$< I23$	
			(80,7) +24,2% E2 $>0,102$		$< 0,048$	
324,9			$5/2^+$	E2 $>0,0199$	$< 0,247$	
529,3	204,3	$(7/2^+)$	$(9/2^+)$	MI + $0,397 \cdot 10^{-3}$	4170	
$0,60 \pm 0,03$			(324,9) +25,8% E2 $0,473 \cdot 10^{-2}$		I,04	
288,7			$7/2^+$	MI + $0,1 \cdot 10^{-3}$	$0,165 \cdot 10^{-5}$	
			(254,2) +95% E2 0,0274		0,179	
448,8			$5/2^+$	E2 $0,121 \cdot 10^{-2}$	4,07	
			(90)			
537,3	274,6	$7/2^-$	$9/2^-$	MI + $>1,20 \cdot 10^{-3}$	$< I390$	
$< 0,15$			(262,8) +86% E2 $>0,140$		$< 0,0354$	
283,1			$7/2^+$	EI $>0,133 \cdot 10^{-7}$	$< 0,457 \cdot 10^6$	
323,7			$7/2^-$	MI + $>0,77 \cdot 10^{-3}$	$< II50$	
--			(213,7) +33,4% E2 $>0,471 \cdot 10^{-2}$		$< I,04$	
4,53			$7/2^+$	EI	-	
537,3			$5/2$	EI $>0,194 \cdot 10^{-7}$	$< 0,312 \cdot 10^6$	
			(0)			

** $B(EI) \in [e^4 b]$; $B(E2) \in [e^3 b]$; $B(MI) \in [(A.M)^2]$; $B(M2) \in [(A.M)^3 b]$ *** Статистический множитель принимался $S = 1$.

связывающих состояния 0,80; 147 и 240 кэВ (таблица 1). M1 -компонент перехода 80 кэВ, связывающая состояния $g_{7/2}$ и $d_{5/2}$, запрещена по орбитальному квантовому числу ℓ . Принимая во внимание, что ядро ^{153}Tb находится на границе области сферических ядер, следует ожидать ослабления этого запрета. Действительно, наблюдаемый фактор торможения F_{sp} ($M1$, 80 кэВ) = = 55, значительно меньше, чем факторы для аналогичных переходов в сферических ядрах, где $F = 10^2 + 10^3$.

Факторы торможения $M1$ - и $E2$ -компонент перехода 93 кэВ значительно меньше соответствующих величин для переходов 147, 159, 240 кэВ. Это может являться дополнительным аргументом в пользу предложенного деформированного характера состояний 147 кэВ $3/2^+$ / $3/2^-$ / $411/$ и 240 кэВ $5/2^+$ / $3/2^-$ / $411/$. Если это так, то по вероятностям $E2$ - и $M1$ -компонент перехода 93 кэВ можно оценить значения внутреннего электрического квадрупольного момента $Q_0 \geq 3,5$ б, параметра деформации $\beta_{20} \geq 0,17$ и магнитного дипольного момента $\mu \geq 1,2$ я.м., вычисленного в предположении, что $g_R = 0,35$ / $11/$. Полученные нижние границы значений Q_0 , β_{20} и μ близки соответствующим значениям $\beta_{20} \approx 0,2$ / $12/$ для полосы $3/2^+$ / $411/$ в ^{155}Tb и $\mu = 1,98$ я.м. в ^{157}Tb / $11/$. Последние факты хорошо интерпретируются в рамках сделанных выше предположений и подтверждают их. Сделать какие-либо выводы о возможной природе других состояний из имеющихся данных не представляется возможным. Отметим только запрещенный характер $M1$ -компонента переходов 204 и 287 кэВ [$F_{sp}(M1) \approx 10^3$], разряжающих состояние 529 кэВ, а также относительно малое значение фактора торможения для $M1$ -компоненты [$F_{sp}(M1) = 30$] перехода 99,6 кэВ, связывающего состояния 262 кэВ ($9/2^-$) и 163 кэВ ($11/2^-$), что, по-видимому, свидетельствует облизкой природе состояний $9/2^-$ и $11/2^-$. Не исключено, что состояние 262 кэВ и состояние 537 кэВ ($7/2^-$), связанное с уровнем 262 кэВ ($9/2^-$) интенсивным ($M1 + 86\% E2$) переходом 274,6 кэВ, являются членами однофононной вибрации, построенной на одночастичном состоянии $h11/2$. В пользу этого свидетельствует также ускоренность

$E2$ -компоненты переходов, связывающих рассматриваемые состояния [$F_{sp}(E2) \approx 10^{-2}$].

Далее, при анализе результатов наших измерений мы попытаемся сравнить свойства низковозбужденных состояний ^{153}Tb с предсказаниями сверхтекущей модели, построенной как на сферическом, так и на деформированном одночастичных базисах с учетом взаимодействия протонной квазичастицы с квадрупольным фоном /13/.

В первом случае расчеты проводились со сферическим потенциалом Вудса-Саксона, параметры которого варьировались так, чтобы получить спектр нижайших возбужденных уровней, близкий к экспериментальному. Наиболее подходящими значениями этих параметров оказались следующие:

для нейтронов - $R_0 = 1,26$ ф, $V_0 = 47,3$ МэВ, $\kappa = 0,342$, $a = 1,587$;

для протонов - $R_0 = 1,26$ ф, $V_0 = 55,6$ МэВ, $\kappa = 0,402$, $a = 1,687$.

При этом, если выбрать константу квадруполь-квадрупольного взаимодействия, исходя из энергии 2_1^+ состояния соседнего четно-четного ядра ^{152}Gd ($\omega_{\text{ЭКС}}(2^+) = 344$ кэВ), то невозможно получить даже значения спина основного состояния, хотя плотность низковозбужденных уровней близка к экспериментальной. Для того чтобы правильно передать спин основного состояния, приходится резко ослаблять силу квадруполь-квадрупольного взаимодействия, но при этом резко увеличивается среднее расстояние между возбужденными уровнями. Полученный одноквазичастичный спектр, а также спектры при различных значениях константы квадруполь-квадрупольного взаимодействия показаны на рис. 4. Фоновые примеси в состояниях $5/2^+$ и $7/2^+$ составляют меньше 1%, т.е. эти состояния можно рассматривать как одноквазичастичные. Состояние $3/2^+$ оказывается сильно коллективизированным (таблица 2). Расчет вероятностей $E2$ -переходов между состояниями $d_{3/2}-d_{5/2}$ и $g_{7/2}-d_{5/2}$ (переходы 80,7 и 147,5 кэВ) показал, что присутствие даже небольших коллективных примесей дает

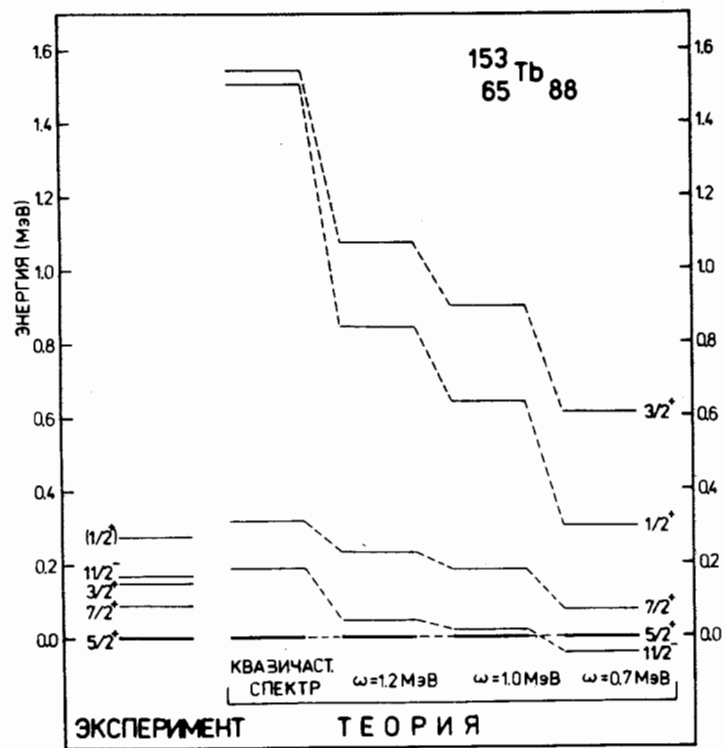


Рис. 4. Одноквазичастичный спектр и спектры, рассчитанные для ^{153}Tb в сферическом потенциале Вудса-Саксона, при различных константах квадруполь-квадрупольного взаимодействия.

значительный вклад в общую вероятность. Факторы запрета для этих переходов оказались равными 0,3 и 1,6, т.е. в сравнении с одноквазичастичными оценками $F_{sp}(E2, 80 \text{ кэВ}) = 0,045$ и $F_{sp}(E2, 147,5 \text{ кэВ}) = 0,05$ учет фононных примесей позволяет получить лучшее согласие с экспериментальными значениями вероятностей рассматриваемых $E2$ -переходов. Замедленный характер $E2$ -перехода 147,5 кэВ в сравнении с вычисленной вероятностью в рамках рассмотренной модели со сфе-

Таблица 2

Структура состояния ^{153}Tb , рассчитанная при $\omega = 1,0 \text{ кэВ}$

Состояние E (кэВ)	ℓI	Квазичаст. комп. d^+_L	Фононные примеси (%)			
			$d^+(5/2)Q_{11}^+$	$d^+(d5/2)Q_{11}^+$	$d^+(g5/2)Q_{11}^+$	$d^+(h5/2)Q_{11}^+$
0	$d\ 5/2$	96,3	1,2	0,4	1,8	0,3
20	$h\ 11/2$	89,5	-	-	-	10,4
183	$g\ 7/2$	85,7	-	0,2	0,5	13,5
639	$s\ 11/2$	39,1	-	6,7	54,1	-
900	$d\ 3/2$	36,0	4,3	4,6	50,8	4,3

ческим потенциалом может явиться указанием на деформированный характер состояния 147,5 кэВ.

Для более адекватного описания как энергетики, так и вероятностей γ -переходов, по-видимому, необходимо использовать, с одной стороны, более сложную волновую функцию, т.е. учитывать взаимодействие протонной квазичастицы с двух- и трех-фононными состояниями, а с другой стороны, обязательно учесть ангармоничность вибраций, которая в ядрах переходной области несомненно сильна.

Расчет, проведенный с деформированным потенциалом Вудса-Саксона^{/14/} и параметром деформации β_{20} , варьируемым в пределах от 0,05 до 0,2 ($\beta_{40} = 0,04$),

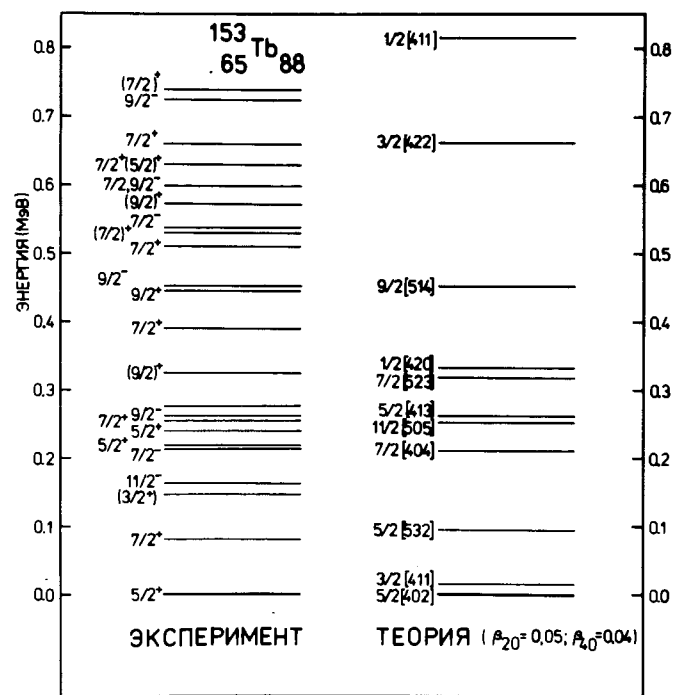


Рис. 5. Одноквазичастичный спектр, рассчитанный для ^{153}Tb в деформированном потенциале Вудса-Саксона.

показывает, что только при очень малой деформации ($\beta_{20} \approx 0,05$) возможно правильно передать спин основного состояния. При этом плотность возбужденных уровней получается значительно ближе к экспериментальной, чем в предыдущем подходе (рис. 5). Значение $\beta_{20} \approx 0,05$ следует также из экспериментальной вероятности $E2$ -компоненты перехода 80 кэВ, связывающего основное ($5/2^+$) и первое возбужденное ($7/2^+$) состояния, если рассматривать их как состояния ротационной полосы $5/2^+/402/$.

Учет взаимодействия квазичастицы с фоном приводит к сильному опусканию возбужденных состояний и ухудшению согласия с экспериментом. Однако расчет вероятностей одночастичных $E2$ -переходов без учета фононов (как видно из таблицы 3) дает сильно заниженные значения в сравнении с экспериментальными. Это означает, что вкладом коллективных примесей в эти состояния нельзя пренебрегать.

Приведенные выше рассуждения могут свидетельствовать о сферической форме основного, первого возбужденного и изомерного состояний в ^{153}Tb или их небольшой деформации $\beta_{20} \approx 0,05$, а уровни 147, 240 и, по-видимому, 389 и 572 кэВ являются членами ротационной полосы $3/2^+/411/$ с $\beta \geq 0,17$.

Таблица 3

Сравнение вероятностей $E2$ -переходов, вычисленных в деформированном одночастичном базисе ($\beta_{20} \approx 0,05$), с экспериментальными вероятностями

E_γ , кэВ	$I_i^\pi [N_{h_1} \Lambda]$	$I_f^\pi [N_{h_2} \Lambda]$	$B(E2)_{\text{эксп.}}$ ($e^2 b^2$)	$B(E2)_{\text{теор.}}$ ($e^2 b^2$)
80,7	$7/2^+/404/$	$5/2^+/402/$	0,II	$0,46 \cdot 10^{-4}$
147,5	$3/2^+/411/$	$5/2^+/402/$	0,099	$0,12 \cdot 10^{-2}$
99,6	$9/2^-/514/$	$11/2^-/505/$	0,0708	$0,22 \cdot 10^{-2}$

Авторы глубоко благодарны А.И.Вдовину за полезные дискуссии, И.И.Громовой и Н.А.Лебедеву за приготовление радиоактивных источников, использованных в измерениях, Р.Р.Усманову и У.С.Салихбаеву за помощь в измерениях.

ЛИТЕРАТУРА

1. Б.С.Джелепов, И.Звольски, М.К.Никитин, В.А.Сергиенко. Программа и тезисы докладов XII Совещания по ядерной спектроскопии, М.-Л., Изд-во АН СССР, 1962.
2. В.Гнатович, К.Я.Громов, Ф.Н.Мухтасимов. Препринт ОИЯИ, Р-2729, Дубна, 1966.
3. В. Harmatz, T. H. Handley. Nucl. Phys., A191, 497, 1972.
4. К.Зубер, Ц.Вылов, И.И.Громова, Я.Зубер, Х.-Г.Ортлепп, Н.А.Лебедев. Препринт ОИЯИ, Р6-8669, Дубна, 1975.
5. Б.А.Аликов, Я.Ваврышук, К.Я.Громов, В.Жук, Р.Ион-Михай, Т.А.Исламов, А.Караходжаев, Э.Крупа, Г.И.Лизурей, М.М.Маликов, Т.М.Муминов, И.Холбаев. Препринт ОИЯИ, Р6-10042, Дубна, 1976.
6. Б.А.Аликов, М.Будзынски, Я.Ваврышук, Н.А.Лебедев, Н.З.Марупов, Т.М.Муминов, У.С.Салихбаев, Р.Р.Усманов, И.Холбаев. Программа и тезисы докладов XXV Совещания по ядерной спектроскопии и структуре атомного ядра. Л., "Наука", 1975.
7. Б.А.Аликов, Я.Ваврышук, Р.Ион-Михай, Т.М.Муминов, И.Холбаев. Труды Международной конференции по избранным вопросам структуры ядра. ОИЯИ, Д-9682, Дубна, 1976.
8. Б.А.Аликов, Г.И.Лизурей, Т.М.Муминов, С.И.Ormанджиев, У.С.Салихбаев, Р.Р.Усманов, И.Холбаев. Препринт ОИЯИ, Р13-9516, Дубна, 1976.
9. Б.А.Аликов, М.Будзынски, Р.Ион-Михай, В.А.Морозов. ЭЧАЯ, 7, 2, стр. 419, 1976.
10. N. Taketani, H. L. Sharma, N. M. Hintz. Phys. Rev., C, 1975, v.12, p.108-123.

11. М.И.Базнат, Н.И.Пятов, М.И.Черней. ЭЧАЯ, 4, 4, стр. 941, 1973.
12. I.-L. Lamm. Nucl. Phys., A125, 504 (1969).
13. В.Г.Соловьев. Теория сложных ядер. "Наука", М., 1971.
14. Ф.А.Гареев, С.П.Иванова, В.Г.Соловьев, С.И.Федотов. ЭЧАЯ, 4, 2, стр. 357, 1973.

Рукопись поступила в издательский отдел
16 августа 1976 года.

Редколлегия журнала ЭЧАЯ сообщает, что вышел в свет журнал "Физика элементарных частиц и атомного ядра", том 7, вып. 3. Подписаться на журнал можно в агентствах и отделениях "Союзпечати", в отделениях связи, а также у общественных распространителей.